

静电纺丝技术制备 $\text{Y}_2\text{O}_3:\text{Eu}^{3+}$ 纳米带及其发光性质

于长娟¹ 王进贤^{*1} 于长英^{1,2} 董相廷^{*1} 刘桂霞¹

(¹ 长春理工大学化学与环境工程学院, 长春 130022)

(² 通化市第一中学, 通化 130041)

摘要: 采用静电纺丝技术制备了 PVP/[$\text{Y}(\text{NO}_3)_3+\text{Eu}(\text{NO}_3)_3$]复合纳米带, 将其进行热处理, 获得了 $\text{Y}_2\text{O}_3:\text{Eu}^{3+}$ 纳米带。采用 XRD、FTIR、SEM、TEM、荧光光谱等技术对焙烧后的样品进行了表征。结果表明: 600 °C 焙烧即可获得 $\text{Y}_2\text{O}_3:\text{Eu}^{3+}$ 纳米带, 800 °C 时结晶更为良好, 产物属于立方晶系。纳米带表面光滑, 由平均直径为 30 nm 的小颗粒紧密排列而成, 为多晶结构。随着温度升高, 纳米带宽度减小。焙烧 800 °C 获得的 $\text{Y}_2\text{O}_3:\text{Eu}^{3+}$ 纳米带的发光性质优于焙烧 600 °C 的 $\text{Y}_2\text{O}_3:\text{Eu}^{3+}$ 纳米带。与体材料相比, 该纳米带的激发光谱 $\text{Eu}^{3+}-\text{O}^{2-}$ 电荷迁移态(CTB)发生红移, 发射光谱发生蓝移。

关键词: $\text{Y}_2\text{O}_3:\text{Eu}^{3+}$; 纳米带; 静电纺丝技术; 稀土; 光谱

中图分类号: O614.32²; O614.33⁸

文献标识码: A

文章编号: 1001-4861-(2010)11-2013-05

Synthesis of $\text{Y}_2\text{O}_3:\text{Eu}^{3+}$ Nanoribbons by Electrospinning and Their Luminescent Properties

YU Chang-Juan¹ WANG Jin-Xian^{*1} YU Chang-Ying^{1,2} DONG Xiang-Ting^{*1} LIU Gui-Xia¹

(¹School of Chemistry and Environmental Engineering, Changchun University of Science and Technology, Changchun 130022)

(²First High School of Tonghua, Tonghua, Jilin 130041)

Abstract: PVP/[$\text{Y}(\text{NO}_3)_3+\text{Eu}(\text{NO}_3)_3$] composite nanoribbons were prepared via electrospinning, and $\text{Y}_2\text{O}_3:\text{Eu}^{3+}$ nanoribbons were obtained by calcined the relevant composite nanoribbons at 600 °C and 800 °C. The samples were characterized by XRD, SEM, TEM, FTIR and fluorescence spectroscopy. $\text{Y}_2\text{O}_3:\text{Eu}^{3+}$ nanoribbons calcinated at 800 °C were more crystalline than that at 600 °C. The structure of $\text{Y}_2\text{O}_3:\text{Eu}^{3+}$ nanoribbons was cubic with space group $Ia3$. The surface of $\text{Y}_2\text{O}_3:\text{Eu}^{3+}$ nanoribbons, which made up of $\text{Y}_2\text{O}_3:\text{Eu}^{3+}$ nanoparticles of *ca.* 30 nm in diameter closely side by side, was smooth. $\text{Y}_2\text{O}_3:\text{Eu}^{3+}$ nanoribbons was a polycrystalline structure and the width of which decreased with the increasing of calcination temperature. The luminescence properties of $\text{Y}_2\text{O}_3:\text{Eu}^{3+}$ nanoribbons which were obtained by calcinated the relevant composite nanoribbons at 800 °C is better than 600 °C. Compared with the bulk $\text{Y}_2\text{O}_3:\text{Eu}^{3+}$, the red shift of $\text{Eu}^{3+}-\text{O}^{2-}$ charge transfer band (CTB) in the excitation spectrum and the blue shift in the emission spectrum were observed.

Key words: $\text{Y}_2\text{O}_3:\text{Eu}^{3+}$; nanoribbons; electrospinning technology; rare earths; spectrum

$\text{Y}_2\text{O}_3:\text{Eu}^{3+}$ 是一种重要的红色发光材料, 其高效的荧光发射具有发光谱线窄、色彩鲜艳、耐高温、有较高的色纯度和光衰等特性。 $\text{Y}_2\text{O}_3:\text{Eu}^{3+}$ 是制备场发射显示(FED)、等离子体显示(PDP)大屏幕平板显示

器不可缺少的红色荧光粉, 同时还广泛用于制作三基色荧光灯、节能荧光灯、复印机光源和紫外真空激发的气体放电彩色显示板、计算机终端显示器等^[1]。由于 $\text{Y}_2\text{O}_3:\text{Eu}^{3+}$ 是绝缘体, 在应用于 FED 和 PDP

收稿日期: 2010-06-21。收修改稿日期: 2010-08-03。

国家自然科学基金(No.50972020); 吉林省科技发展计划重大项目(No.20070402, 20060504); 教育部科学技术研究重点项目(No.207026);

吉林省教育厅“十一五”科学技术研究项目(No.2007-45, 2006JYT05); 吉林省环保局科技项目(No.2006-24)资助。

*通讯联系人。E-mail: wjx87@sina.com, dongxiangting888@yahoo.com.cn, Tel: 0431-85582574

第一作者: 于长娟, 女, 33岁, 硕士研究生; 研究方向: 无机纳米材料合成与性能。

过程中,电子聚集在荧光粉表面,导致粉体表面的电荷积累,发光效率和强度降低。纳米尺度的 $\text{Y}_2\text{O}_3\text{:Eu}^{3+}$ 保持了体相材料的稳定性和发光特征,可以解决上述问题^[2-3]。人们采用溶胶-凝胶法^[4]、共沉淀法^[5]、喷雾热解法^[6]、燃烧法^[7]等合成了 $\text{Y}_2\text{O}_3\text{:Eu}^{3+}$ 纳米晶,并对其能量传递相互作用^[8]、 C_2 格位 Eu^{3+} 的 ${}^5\text{D}_0$ 能级量子效率^[9]等问题进行了系统研究。

纳米带由于其不同于管、线材料的新颖结构以及独特的光电性能使其在平板显示^[10]、化学传感器^[11]、纳米元器件方面具有潜在的应用前景^[12]。纳米带的合成方法主要有真空-冷凝法^[13]、水热法^[14]、模板法^[15]、碳热还原法^[16]等。静电纺丝法具有高效、低耗、简单、方便、对环境无污染等特点,目前未见静电纺丝法制备 $\text{Y}_2\text{O}_3\text{:Eu}^{3+}$ 纳米带的研究报道。本文采用静电纺丝技术制备了 PVP/[$\text{Y}(\text{NO}_3)_3\text{+Eu}(\text{NO}_3)_3$] 复合纳米带,经高温处理得到了 $\text{Y}_2\text{O}_3\text{:Eu}^{3+}$ 纳米带,采用 XRD、SEM、TEM、FTIR、荧光光谱等技术对样品进行了表征,获得了一些有意义的研究结果,为 $\text{Y}_2\text{O}_3\text{:Eu}^{3+}$ 纳米带的性质研究及应用奠定了物质基础。

1 实验部分

1.1 实验试剂与前驱体溶液的制备

氧化钇和氧化铕(Y_2O_3 , Eu_2O_3 , 4N, 上海国药集团化学试剂有限公司),聚乙烯吡咯烷酮(PVP, $M_r=90\,000$, 分析纯, 天津市科密欧化学试剂开发中心), N,N -二甲基甲酰胺(DMF, 分析纯, 天津市科密欧化学试剂开发中心),浓硝酸(HNO_3 , 北京北化精细化学品有限责任公司)。

准确称取一定量的 Y_2O_3 、 Eu_2O_3 置于锥形瓶中, $n_{\text{Y}^{3+}}\text{:}n_{\text{Eu}^{3+}}=95\text{:}5$, 滴加适量硝酸, 加热溶解、结晶, 制得 $\text{Y}(\text{NO}_3)_3\text{+Eu}(\text{NO}_3)_3$ 结晶物;然后加入一定量的 DMF, 室温下磁力搅拌至结晶物溶解;最后加入适量的 PVP 继续搅拌直至 PVP 完全溶解, 静置至无气泡存在,即得到均一、透明、具有一定粘度的前驱体溶液。其中硝酸盐、PVP 和 DMF 的质量百分比分别为 10%、20% 和 70%。

1.2 $\text{Y}_2\text{O}_3\text{:Eu}^{3+}$ 纳米带的制备

将前驱体溶液进行静电纺丝,即可获得 PVP/[$\text{Y}(\text{NO}_3)_3\text{+Eu}(\text{NO}_3)_3$]复合纤维,然后经过适当的热处理即可得到 $\text{Y}_2\text{O}_3\text{:Eu}^{3+}$ 纳米带。静电纺丝装置如图 1 所示,采用多喷头装置,喷头内径 1.0 mm,与水平面垂

直,固化距离 15 cm,室温 18 °C,空气相对湿度 45%~55%,电压为 15 kV。升温速率为 1 °C·min⁻¹,分别在 600 °C、800 °C 时恒温 8 h。

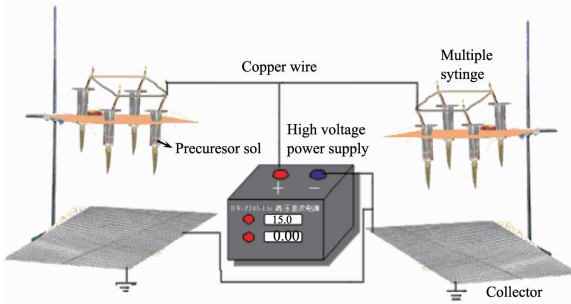


图 1 静电纺丝技术装置图

Fig.1 Schematic diagram of electrospinning setup

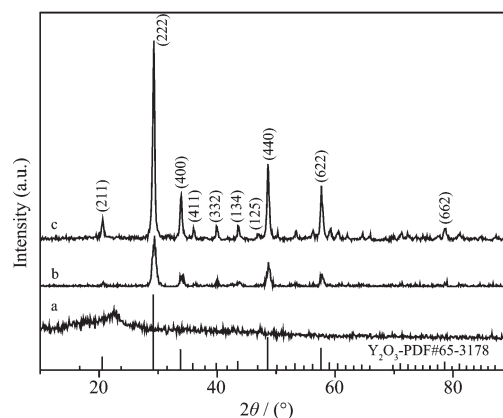
1.3 测试方法

采用丹东奥龙射线仪器有限公司生产的 Y-2000 型 X 射线衍射仪进行结构分析,采用 Cu 靶 $K\alpha$ 辐射, Ni 滤波片, 工作电流 20 mA、电压 40 kV, 扫描速度为 6°·min⁻¹, 步长为 0.05°; 采用荷兰 PHILIPS 公司的 XL-30 型场发射环境扫描电镜和日本 JEOL 公司生产的 TEM-2000EX 型透射电镜对样品进行形貌与尺寸分析;采用 OXFORD ISIS-300 型 X 射线能量色散谱仪进行能谱分析;采用日本 SHIMADZU 公司的 FTIR-8400S 型傅立叶变换红外光谱仪进行 FTIR 分析;采用日本 HITACHI 公司的 F-4500 型荧光光谱仪对样品进行光谱分析。

2 结果与讨论

2.1 X 射线衍射分析

图 2 为 PVP/[$\text{Y}(\text{NO}_3)_3\text{+Eu}(\text{NO}_3)_3$] 复合纳米带及



a: PVP/[$\text{Y}(\text{NO}_3)_3\text{+Eu}(\text{NO}_3)_3$] composite nanoribbons;

b: 600 °C; c: 800 °C

图 2 纳米带的 XRD 图

Fig.2 XRD patterns of nanoribbons

600、800 °C 焙烧 8 h 获得样品的 X 射线衍射分析。由图可见, 复合纳米带在 22°附近有一个较宽的非晶弥散峰, 即复合纳米带为无定形; 600 °C 焙烧后, PVP 和硝酸盐分解, 生成了结晶良好的 Y_2O_3 , 其 d 值与 JCPDS No.65-3178 一致, 属于立方晶系, 空间群为 $Ia3$; 800 °C 焙烧后衍射增强, 结晶性更好。

2.2 红外光谱分析

图 3 是 PVP/[$\text{Y}(\text{NO}_3)_3+\text{Eu}(\text{NO}_3)_3$]复合带及 600 °C 和 800 °C 焙烧后样品的 FTIR 谱图。从图 3a 可以看到 C-H 键的伸缩振动($2947, 1465 \text{ cm}^{-1}$)、C=O 基的伸缩振动(1646 cm^{-1})和 C-N 键或 C-O 键的振动吸收(1283 cm^{-1}); 600 °C 焙烧后, 有机官能团的吸收基本消失, 在 563 cm^{-1} 处出现了 Y-O(Eu-O)键的特征振动吸收, 800 °C 时, 吸收进一步增强, 其中, 3446 cm^{-1} 处宽的吸收谱带为样品吸附空气中的水导致的-OH 振动吸收; $1631, 1381 \text{ cm}^{-1}$ 附近的吸收峰为样品吸附空气中的 H_2O 和 CO_2 所致。FTIR 分析结果与 XRD 一致。

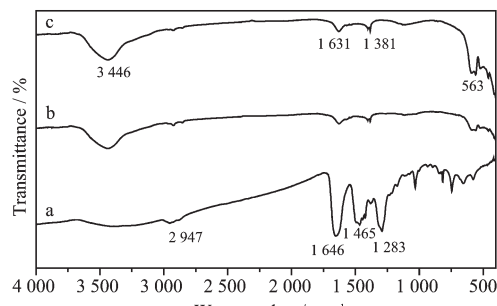
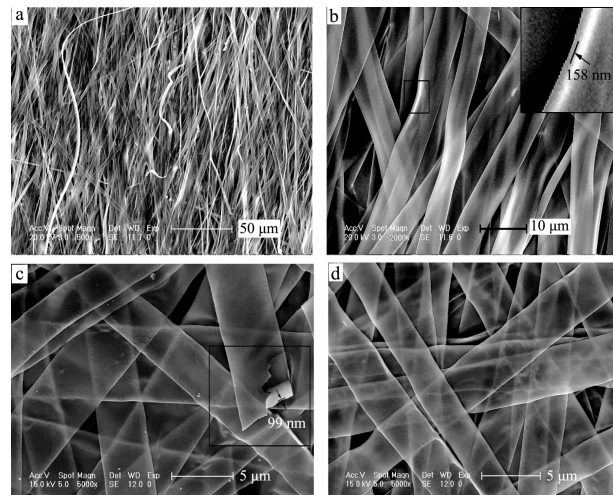


图 3 纳米带的 FTIR 图
Fig.3 FTIR spectra of the nanoribbons

2.3 扫描电镜和能量色散谱分析

图 4 为样品的 SEM 照片, 纳米带的长度大于 $250 \mu\text{m}$; PVP/[$\text{Y}(\text{NO}_3)_3+\text{Eu}(\text{NO}_3)_3$]复合纳米带的表面光滑, 平均宽度约 $7\sim9 \mu\text{m}$, 尺寸均一, 厚度约 158 nm ; 600 °C 焙烧后, 宽度为 $3\sim5 \mu\text{m}$, 厚度约 99 nm ; 800 °C 焙烧后, 表面光滑, 宽度为 $2\sim3.5 \mu\text{m}$ 。随着温度升高, 纳米带变窄, 这是由于纳米粒子受热紧密连结的缘故。

图 5 为 600 和 800 °C 焙烧所得 $\text{Y}_2\text{O}_3:\text{Eu}^{3+}$ 纳米带的能量色散谱分析, 600 °C 时含有少量的 C, 说明有机物分解不完全, 800 °C 时有机物完全分解, 得到了纯净的 $\text{Y}_2\text{O}_3:\text{Eu}^{3+}$ 纳米带。



a: PVP/[$\text{Y}(\text{NO}_3)_3+\text{Eu}(\text{NO}_3)_3$] composite nanoribbons;
b: 600 °C; c: 800 °C

图 4 纳米带的扫描电镜照片
Fig.4 SEM images of the nanoribbons

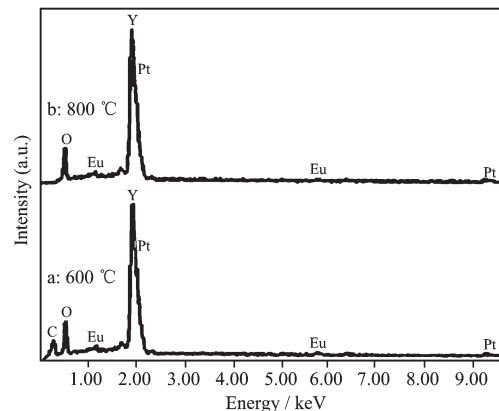


图 5 纳米带的能量色散谱分析
Fig.5 EDS images of the nanoribbons

2.4 透射电镜分析

图 6 为 800 °C 焙烧获得的 $\text{Y}_2\text{O}_3:\text{Eu}^{3+}$ 纳米带的透射电镜和电子衍射照片。可以看出, 纳米带由平均直径为 30 nm 的粒子紧密排列而成, 纳米粒子为多晶结构。

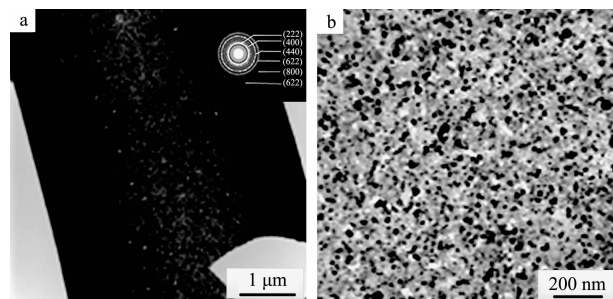


图 6 $\text{Y}_2\text{O}_3:\text{Eu}^{3+}$ 纳米带的透射电镜和电子衍射照片
Fig.6 TEM images and ED image(inset of a) of $\text{Y}_2\text{O}_3:\text{Eu}^{3+}$ nanoribbons

2.5 荧光光谱分析

图 7(A)为 $\text{Y}_2\text{O}_3\text{:Eu}^{3+}$ 纳米带的激发光谱,焙烧温度分别为 600 °C(a) 和 800 °C(b), 监测波长为 610 nm。250 nm 附近的宽激发带来自于 $\text{Eu}^{3+}\text{-O}^{2-}$ 间的电荷迁移态(CTB)吸收。与体材料(最强激发峰 238 nm)相比,600 和 800 °C 所得样品的最强激发峰分别位于 250 和 253 nm,发生了明显的红移,即产生了典型的量子尺寸效应^[17-19]。325~468 nm 处弱的激发峰,由 Eu^{3+} 离子 $f \rightarrow f$ 电子禁戒跃迁锐线峰构成,325、366、397 和 468 nm 处的弱激发峰属于 Eu^{3+} 的 $^7F_0 \rightarrow ^5H_6$ 、 $^7F_0 \rightarrow ^5D_4$ 、 $^7F_0 \rightarrow ^5L_6$ 和 $^7F_0 \rightarrow ^5D_2$ 吸收。

图 7(B)为 $\text{Y}_2\text{O}_3\text{:Eu}^{3+}$ 纳米带的发射光谱。立方相的 Y_2O_3 中存在 S_6 和 C_2 两种格位, S_6 有反演对称中心,当 Eu^{3+} 占据 S_6 格位时,允许磁偶极($^5D_0 \rightarrow ^7F_1$)跃迁;而 C_2 格位没有反演对称中心,电偶极($^5D_0 \rightarrow ^7F_2$)跃迁是允许的^[20]。从图 7(B)可见, $\text{Y}_2\text{O}_3\text{:Eu}^{3+}$ 纳米带在 $\lambda=254$ nm 紫外光激发下,最大发射波长位于 610 nm

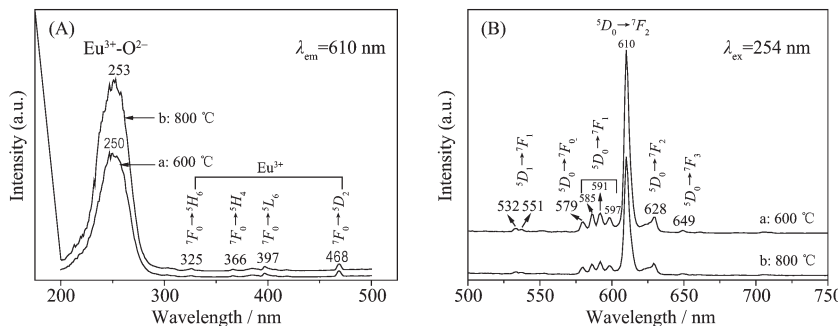


图 7 $\text{Y}_2\text{O}_3\text{:Eu}^{3+}$ 纳米带的激发光谱(A)和发射光谱(B)

Fig.7 Excitation spectra (A) and emission spectra (B) of $\text{Y}_2\text{O}_3\text{:Eu}^{3+}$ nanoribbons

2.6 $\text{Y}_2\text{O}_3\text{:Eu}^{3+}$ 纳米带形成机理分析

在静电纺丝过程中,温度、湿度及固形物含量是决定形成带状还是柱状的关键,三者相辅相成、相互影响,在动态中存在着一个最佳组合。温度和湿度决定了溶剂的挥发速度,而固形物含量决定了带状结构的稳定存在。在相对较低湿度和适当温度下,溶剂快速挥发,泰勒锥在某一瞬间从一点或一个方向上被电场力拉伸,形成了薄片状结构,进而在“惯性”的作用下,继续拉伸最终形成长条带状结构;由于溶剂的快速挥发、固形物含量大,最终得以使这种带状结构保持下来。最后经过适当的热处理使有机物分解挥发即可得到无机物纳米带。在 $\text{Y}_2\text{O}_3\text{:Eu}^{3+}$ 纳米带的形成过程中,固形物含量主要决定于高分子即 PVP,因此,增大 PVP 含量是形成纳米带的关键,而如果 PVP 含量低只能得到纤维^[24,25]。本研

$\text{nm}(^5D_0 \rightarrow ^7F_2)$,为明显的红光发射,与 $\text{Y}_2\text{O}_3\text{:Eu}^{3+}$ 体材料^[21] ($\lambda_{em}=619$ nm)相比,纳米带的主发射峰发生蓝移,这可能与晶体场的变化有关^[18]。579 nm、649 nm 处的发射分别归属于 Eu^{3+} 的 $^5D_0 \rightarrow ^7F_0$ 和 $^5D_0 \rightarrow ^7F_3$ 跃迁;585、591、597 nm 为 Eu^{3+} 的 $^5D_0 \rightarrow ^7F_1$ 跃迁;628 nm 处的弱峰归属于 $^5D_0 \rightarrow ^7F_2$ 跃迁。

$^5D_0 \rightarrow ^7F_1$ 为允许的磁偶极跃迁,对环境反应不灵敏; $^5D_0 \rightarrow ^7F_{0,2,4,6}$ 为禁戒的电偶极跃迁,其跃迁概率与所处的环境有关,其中 $^5D_0 \rightarrow ^7F_2$ 为 Eu^{3+} 的超灵敏跃迁,可用于指示 Eu^{3+} 所处环境的变化^[22]。在制备的 $\text{Y}_2\text{O}_3\text{:Eu}^{3+}$ 纳米带中, $^5D_0 \rightarrow ^7F_2$ 跃迁占主要地位,根据 $^5D_0 \rightarrow ^7F_2$ 与 $^5D_0 \rightarrow ^7F_1$ 跃迁的强度比,可知 Eu^{3+} 主要处于无反演对称中心的 C_2 格位^[23]。

对 600 和 800 °C 焙烧的样品的激发光谱和发射光谱分别进行了比较,并结合 XRD 分析可以看出,800 °C 所得纳米带的结晶性更为良好,因而激发峰和发射峰强度比 600 °C 所得样品的强度高。

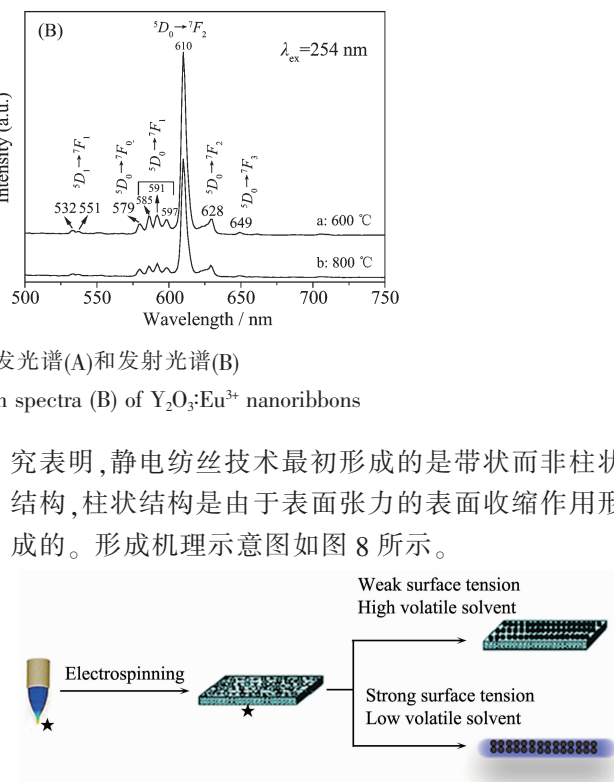


图 8 静电纺丝形成纳米带机理图

Fig.8 Formation mechanism of electrospun nanoribbons

3 结 论

采用静电纺丝技术制备了 $\text{PVP}/[\text{Y}(\text{NO}_3)_3\text{:Eu}(\text{NO}_3)_3]$ 复合纳米带,将其进行热处理,获得了 $\text{Y}_2\text{O}_3\text{:Eu}^{3+}$ 纳米带。纳米带的长度大于 250 μm ; $\text{PVP}/[\text{Y}(\text{NO}_3)_3\text{:Eu}^{3+}]$

$\text{Eu}(\text{NO}_3)_3$]复合纳米带的表面光滑,平均宽度约 7~9 μm ,尺寸均一,厚度约 158 nm;600 ℃焙烧后,宽度为 3~5 μm ,厚度约 99 nm;800 ℃焙烧后,表面光滑,宽度为 2~3.5 μm 。由平均直径为 30 nm 左右的小颗粒紧密排列而成,属于立方晶相,为多晶结构。随着温度升高,宽度变小,这是由于纳米粒子间受热紧密连结的缘故。 $\text{Y}_2\text{O}_3:\text{Eu}^{3+}$ 纳米带是一种性能优良的红色荧光材料;800 ℃时获得的 $\text{Y}_2\text{O}_3:\text{Eu}^{3+}$ 纳米带的发光性能优于 600 ℃所得纳米带。与体材料相比 $\text{Y}_2\text{O}_3:\text{Eu}^{3+}$ 纳米带激发光谱(CTB)发生红移,发射光谱发生蓝移。该合成方法普遍实用性强,可被用于其他物质纳米带的合成。

参考文献:

- [1] LI Jian-Yu(李建宇). *Rare Earth Luminescent Materials and Applications*(稀土发光材料及其应用). Beijing: Chemical Industry Press, 2003.254-286
- [2] Kim C H, Kwon I E, Park C H, et al. *J. Alloys Compd.*, 2000,311:33-39
- [3] Zhang W W, Zhang W P, Xie P B, et al. *J. Colloid Interface Sci.*, 2003,262:588-593
- [4] ZHAI Yong-Qing(翟永清), YAO Zi-Hua(姚子华), DING Shi-Wen(丁士文), et al. *J. Inorg. Mater.(Wuji Cailiao Xuebao)*, 2003,18(2):440-444
- [5] DONG Xiang-Ting(董相廷) LIU Zong-Rui(刘宗瑞) YU De-Cai(于德才) et al. *Mater. Sci. Technol.(Cailiao Kexue Yu Gongyi)*, 1995,3(3):47-51
- [6] Jung K Y, Kang Y C, Park Y K. *Ind. Eng. Chem. Fundam.*, 2008,14:224-229
- [7] LI Dan(李丹), LIU Shao-Zhe(吕少哲), CHEN Bao-Jiu(陈宝玖), et al. *Acta Phys. Sinica(Wuli Xuebao)*, 2001,50(5):933-937
- [8] MENG Qing-Yu(孟庆裕), CHEN Bao-Jiu(陈宝玖), XU Wu (许武), et al. *Spectrosc. Spectr. Anal.(Guangpuxue Yu Guangpu Fenxi)*, 2006,26(8):25-26
- [9] Guo B, Mukundan M, Yim H. *Powder Technol.*, 2009,191:231-234
- [10] Kong X Y, Wang Z L. *Solid State Commun.*, 2003,128:1-4
- [11] Law M, Kind H, Messer B, et al. *Angew. Chem. Int. Ed.*, 2002,41:2405-2408
- [12] YANG Zao(杨枣), PENG Kun(彭坤), YUAN Huan(袁缓), et al. *Mater. Sci. Technol.(Cailiao Kexue Yu Gongyi)*, 2006,14(5):538-542
- [13] Pan Z W, Dai Z R, Wang Z L. *Science*, 2001,291:1947-1949
- [14] TAO You-Rong(陶友荣), ZHANG Yu-Ling(张玉玲), WEN Le-Le(温乐乐), et al. *Chinese J. Inorg. Chem.(Wuji Huaxue Xuebao)*, 2008,24(10):1570-1575
- [15] GE Xue-Wu(葛学武), NI Yong-Hong(倪永红), LIU Hua-Rong(刘华蓉), et al. *J. Radiat. Res. Radiat. Process.(Fushe Yanjiu Yu Fushe Gongyi Xuebao)*, 2001,19(2):118-121
- [16] NI Zi-Feng(倪自丰), YING Peng-Zhan(应鹏展), LUO Yong (罗勇), et al. *J. Inorg. Mater.(Wuji Cailiao Xuebao)*, 2007,22(4):609-612
- [17] Tao Y, Zhao G W, Zhang W P, et al. *Mater. Res. Bull.*, 1997,32:501-506
- [18] YANG Ding-Ming(杨定明), ZHU Da-Chuan(朱达川), ZHUANG Jia(庄稼), et al. *Rare Metal Mater. Eng.(Xiyou Jinshu Cailiao Yu Gongcheng)*, 2005,34(12):1894-1896
- [19] JIA Ming-Li(贾明理). *Thesis for the Master of Changchun Institute of Optics, Fine Mechanics and Physics, Chinese Academy of Sciences*(中国科学院长春光学精密机械与物理研究所硕士论文). 2004.
- [20] LI Qiang(李强), GAO Lian(高濂), YAN Dong-Sheng(严东生). *J. Inorg. Mater.(Wuji Cailiao Xuebao)*, 1998,13(6):899-902
- [21] Huang L, Nagapudi K, Apkarian R P, et al. *J. Biomater. Sci. Polym. Ed.*, 2001,12:979-993
- [22] ZHANG Zhong-Tai(张中太), ZHANG Jun-Ying(张俊英). *Photoluminescence of Inorganic Materials and Application*(无机光致发光材料及应用). Beijing: Chemical Industry Press, 2005.92
- [23] SUN Ri-Sheng(孙日圣), CHEN Da(陈达), WEI Kun(魏坤), et al. *Spectrosc. Spectr. Anal.(Guangpuxue Yu Guangpu Fenxi)*, 2001,21(3):339-343
- [24] WANG Jin-Xian(王进贤), GUO Yue-Qiu(郭月秋), DONG Xiang-Ting(董相廷), et al. *J. Inorg. Mater.(Wuji Cailiao Xuebao)*, 2010,25(4):379-385
- [25] WANG Jin-Xian(王进贤), ZHANG He(张贺), DONG Xiang-Ting(董相廷), et al. *Chinese J. Inorg. Chem.(Wuji Huaxue Xuebao)*, 2010,26(1):29-34